



## بررسی سیستمیک خشک شدن برگه‌ی گلابی آسیایی در خشک کن مایکروویو

پگاه نعمتی‌زاده<sup>۱</sup>، محمد‌هادی خوش‌تفاضل<sup>۲</sup>، محمد عباسیان<sup>۳</sup>

<sup>۱، ۲ و ۳</sup>-به ترتیب دانشجوی کارشناسی ارشد، دانشیار و دانشجوی کارشناسی ارشد گروه مکانیک ماشین‌های

کشاورزی، دانشگاه تربیت مدرس

pegah644@yahoo.com

### چکیده

گلابی آسیایی، یکی از گونه‌های قدیمی گلابی است که در دو دهه گذشته، علاقه‌مندی به پرورش ارقام اصلاح شده‌ی آن در جهان رو به تزايد گذاشته است. در این تحقیق خشک کردن برگه‌ی گلابی آسیایی با ضخامت‌های ۲، ۴ و ۶ mm در خشک کن مایکروویو با توانهای ۲۰۰، ۴۰۰ و ۶۰۰ W مورد مطالعه قرار گرفته و منحنی‌های نسبت رطوبت در طی زمان به دست آمدند. مدل‌های ریاضی خشک کردن لایه‌های نازک برای توانهای ۲۰۰ و ۴۰۰ و ۶۰۰ W، مدل لگاریتمی و برای توان مقایسه شدند. بهترین مدل خشک کردن برای توانهای ۲۰۰ و ۴۰۰ و ۶۰۰ W، مدل لگاریتمی و برای توان ۴۰۰، مدل لگاریتمی و تقریب انتشار بدست آمد.

واژه‌های کلیدی: مایکروویو، گلابی آسیایی، خشک کردن، مدل ریاضی

### مقدمه

خشک کردن یکی از روش‌های نگهداری مواد غذایی است. از این روش بخصوص برای افزایش زمان ماندگاری میوه‌ها و سبزیجاتی که دارای آب زیاد هستند، استفاده می‌گردد، زیرا آب مهم‌ترین عامل در ایجاد فساد، رشد و فعالیت متابولیکی میکرووارگانیسم‌ها می‌باشد. خشک کردن مواد غذایی برای نگهداری بهتر آن‌ها در طول سال و ایجاد امکان دسترسی به آن‌ها در شرایط و فصولی که به صورت تازه وجود ندارند، از سال‌ها پیش مرسوم و متداول بوده است. در فرآیند خشک کردن میوه‌ها، به علت حذف مقداری از آب آن‌ها، غلظت سایر مواد مغذی بالاتر می‌رود. بیشتر مواد مغذی به حرارت حساس بوده و با قرار گرفتن در معرض فرآیند خشک کردن از بین می‌روند. برای مثال ویتامین C در فرآیند خشک کردن کاهش یافته یا به کلی از بین می‌روند. از سوی دیگر، میوه‌های خشک منع غنی ویتامین‌های  $B_2$ ,  $B_3$ ,  $B_6$ ,  $A$ ,  $B_1$  و پانتوتئینک اسید و نیز املاحی مانند کلسیم، آهن، منیزیم، فسفر، پتاسیم،

سدیم، مس و منگنز هستند و هر ۱۰۰ گرم میوه‌ی خشک تقریباً ۲۵۰ کالری انرژی و ۱ تا ۵ گرم پروتئین دارد (خوشخوی و همکاران، ۱۳۷۳).

گلابی یکی از محصولات مهم باغی مناطق معتدل به ویژه غرب ایران است که در حال حاضر سطح قابل توجهی از باغات استان‌های این منطقه شامل کرمانشاه، همدان و کردستان را به خود اختصاص داده است. سطح زیر کشت درختان گلابی در منطقه‌ی غرب کشور حدود ۸۳۴ هکتار می‌باشد که حدود ۲۰ درصد گلابی کشور را تولید می‌نمایند (بی‌نام، ۱۳۸۱).

پیروس پیروفولیا گونه‌ای درخت گلابی بومی در چین، ژاپن و کره است. میوه‌های خوراکی این درخت به نام‌های مختلفی شناخته شده‌اند، از جمله: گلابی آسیایی، گلابی سفید چینی، گلابی ژاپنی، گلابی کره‌ای، گلابی تایوانی، گلابی شنی و سیب گلابی. در شمال آسیا این میوه با نام ناشی پاتی یا ناش پاتی شناخته شده است (Anonymous, 2010). پیروس پیروفولیا در آسیای شرقی، استرالیا، هند، نیوزلند و کشورهای دیگر کشت می‌شود. بطور کلی این میوه برای مصارف پخت مثل شیرینی و کمپوت استفاده نمی‌شود، زیرا درصد رطوبت بالایی دارد و بافت ترد و دانه‌ای آن خیلی با گونه‌های روغنی اروپایی متفاوت است. پیروس پیروفولیا برخلاف نام متناولش، سیب گلابی، حاصل پیوند سیب و گلابی نیست اما شکل و بافت ترشید یادآور سیب است. این میوه گونه‌ای هیرید خاص از گلابی است و اغلب به صورت خام و پوست‌کنده مصرف می‌شود. این میوه واقعاً درشت و معطر است و زمانی که به دقت پیچیده می‌شود، تا هفته‌ها در یک مکان سرد و خشک دوام می‌آورد. این میوه به علت آبداری به راحتی کوبیده و له می‌شود (Anonymous, 2010). در ایران هنوز کشت و پرورش ارقام گلابی آسیایی (Serotina Rehd Pyrus) متناول نشده است. گلابی آسیایی، یکی از گونه‌های قدیمی گلابی است که در دو دهه‌ی گذشته، علاقه‌مندی به پرورش ارقام اصلاح شده‌ی آن در جهان رو به تزايد گذاشته است (کاوه‌یی، ۱۳۸۷).

در مطالعه‌ای امام جمعه و عسگری برش‌های ۴ میلی‌متری سیب واریته‌ی زرد لبنانی را با روش ترکیی پوشش دادن، خشک کردن با هوای داغ و انرژی مایکروویو، تحت فرایند قرار دادند. خشک کردن با انرژی مایکروویو (W) ۳۰۰ و ۱۰ ثانیه باعث بست آمدن محصولی با بافت حجیم و متخلخل شد که نسبت به محصول خشک شده در خشک کن‌های مرسوم هوای داغ دارای ویژگی‌های کیفی بهتری می‌باشد (امام جمعه و عسگری، ۱۳۸۳). در یک بررسی برای خشک کردن برگ‌های نازک هویج از خشک کن هوای مجهز به سیستم مایکروویو استفاده شد که با استفاده از این روش، ۲۵-۹۰ درصد در مصرف انرژی صرفه‌جویی به عمل آمد. مشخص شد که استفاده از سطوح پایین‌تر انرژی موجب بهبود کیفیت فراورده‌ی پایانی می‌شود (Rosenthal and Answere, 2007).

اندازه‌ی قطر و نحوه‌ی توزیع منافذ در بافت میوه‌های خشک و ارتباط آن با روش خشک کردن مورد بررسی قرار گرفته، در نهایت مشخص شده که خشک کردن به روش تصعیدی کمترین تاثیر نامطلوب را بر روی ویژگی‌های ساختمانی به جای می‌گذارد (Karathanos, 1996).

استفاده از انرژی مایکروویو بسته به چگونگی و زمان استفاده از آن می‌تواند نتایجی متفاوت و بعض‌ا متصاد داشته باشد. اثرات این انرژی بر روی رنگ محصول و نیز میزان تخلخل آن، از این قبیل موارد هستند (Krokida and Maroulis, 1997; Prabhanjan *et al.*, 1994).

در مواردی که سطح میوه‌ها کاملاً خشک و سخت شده، انتقال جرم و حرارت از طریق آن به سختی صورت می‌پذیرد، استفاده از مایکروویو این مزیت را داراست که با عبور از این موانع و بدون تغییر در آن‌ها آب موجود در مرکز نمونه بخار شده نهایتاً بافت حجیم به وجود می‌آید. وجود یون کلسیم در بافت میوه موجب استحکام و تردی آن و تولید محصولی حجیم و متخلخل بعد از فرایند مایکروویو می‌شود (امام جمعه و عسگری، ۱۳۸۳).

نتایج مطالعه‌ی فنگ و همکاران (۱۹۹۸) بیانگر این موضوع بود که استفاده از انرژی مایکروویو در یک سیستم بستر فورانی موجب افزایش دانسیته‌ی ظاهری و به دنبال آن کاهش تخلخل محصول خشک می‌گردد (Tang, 1998).

تماس فانبو و همکاران نیز از انرژی مایکروویو برای خشک کردن سبب استفاده کردند. طبق گزارش این پژوهشگران، میزان دانسیته‌ی محصول بسته به سطح، زمان اعمال انرژی و شرایط دمایی خشک کن ۷۹۶–۶۳۲ kg/m<sup>3</sup> بوده است. علت اصلی افزایش دانسیته‌ی ظاهری محصول خشک حاصل از این روش‌ها (صرف‌نظر از توان به کار گرفته شده) به کارگیری انرژی مایکروویو در شرایطی است که میزان رطوبت محصول بالاست که این خود موجب تشدید ضربت تبدیل انرژی مایکروویو و در نهایت تخریب ساختار داخلی محصول خشک شده خواهد بود.

(Funebo *et al.*, 2000)

با توجه به تحقیقات انجام شده، تا کنون در مورد خشک کردن برگه گلابی کاری در ایران و سایر نقاط جهان صورت نگرفته است. از این‌رو در این مقاله، سیستیک خشک کردن برگه گلابی در خشک کن مایکروویو مورد بررسی قرار گرفته است.

اهداف این تحقیق عبارتند از:

- ۱- تعیین تأثیر ضخامت بر چگونگی خشک شدن ورقه گلابی.
- ۲- تعیین تأثیر توان خشک کن مایکروویو بر چگونگی خشک شدن ورقه گلابی.
- ۳- ارائه بهترین مدل خشک کردن جهت تشریح فرآیند خشک شدن

## مواد و روش‌ها

### ۱- مواد

از نمونه برگه‌های نازک با ضخامت ۲، ۴ و ۶ mm با استفاده از یک چاقوی بسیار نازک با ابعاد ۲۵×۵ mm جدا گردید. سپس وزن نمونه با استفاده از ترازوی دیجیتالی با دقت ۰/۰۰۱ g اندازه گیری شد. برای خشک کردن ورقه‌های بریده شده از خشک کن ماکروویو SAMSUNG مدل M945 با قدرت ۱۰۰۰ W استفاده شد.

### ۲- روش آزمایش

برای آزمایشات این تحقیق، حدود ۷ کیلوگرم گلابی آسیایی در اوابیل زمستان ۸۸ تهیه و به آزمایشگاه مربوطه منتقل شد. سپس، میوه‌های کال، خراب و صدمه دیده جدا شد. سه عدد از نمونه‌ی بریده شده با ضخامت یکسان بر روی یک صفحه مشبك قرار گرفت. سپس صفحه مشبك در داخل سیستم خشک کن قرار داده شد. نمونه‌ها در ابتدا هر ۳ دقیقه از داخل خشک کن بیرون آورده می‌شد تا وزن آن ثبت گردد و این زمان کم کوتاه می‌شد. آزمایشات

برای سطوح مختلف توان مایکروویو، ۲۰۰ و ۳۰۰ و W۴۰۰ برای سه ضخامت ۲، ۴ و ۶ mm و در سه تکرار انجام گرفت. برای اندازه گیری میزان رطوبت اولیه، از استاندارد اون استفاده گردید. برای این کار ۱۰۰ گرم از ورقه ها به مدت ۲۴ ساعت در دمای ۱۰۵°C قرار داده شد (McGlone *et al.*, 2002). در نتیجه میزان رطوبت ۸۰/۲۷ برا پایه‌ی تر محاسبه شد.

در جدول (۱) برای خشک شدن میوه‌ها و سبزیجات در طی خشک شدن، یک سری مدل‌های نیمه تجربی که در آن تنها نرخ نزولی در طی خشک شدن رخ می دهد، ارائه شده است. داده‌های آزمایش توسط نرم‌افزارهای EXCEL و MATLAB مورد تجزیه و تحلیل و تطبیق با مدل‌های معروف شده در جدول (۱) قرار گرفت. Diammante and Munro, 1991; Yaldiz (MR) معمولاً به صورت زیر تعریف می شود (and Ertekin, 2001

$$MR = (M - M_e) / (M_0 - M_e) \quad (1)$$

ضریب تبیین ( $R^2$ ) یکی از مقدماتی‌ترین پارامترهای آماری برای تعیین مناسب بودن معادله تعريف شده با مدل واقعی می باشد. علاوه بر  $R^2$ ، پارامترهای آماری متفاوتی مانند: انحراف معیار (RMSE) و مجموع مربعات خطای SSE (SSE) برای تعیین میزان تطابق مورد استفاده قرار می گیرند. این پارامترها را می توان از روابط زیر محاسبه نمود:

$$R^2 = 1 - \frac{\sum_{i=1}^n (MR_{eap,i} - MR_{pre,i})^2}{\sum_{i=1}^n (MR_{eap} - MR_{pre,i})^2} \quad (2)$$

$$RMSE = \left[ \frac{1}{N} \sum_{i=1}^n (MR_{eap,i} - MR_{pre,i})^2 \right]^{1/2} \quad (3)$$

که در آن،  $MR_{exp,i}$  مقادیر به دست آمده از آزمایشات،  $MR_{pre,i}$  مقادیر پیشگویی شده بوسیله‌ی مدل‌های ارائه شده، N و Z به ترتیب تعداد مشاهدات و ثابت‌ها می باشند.

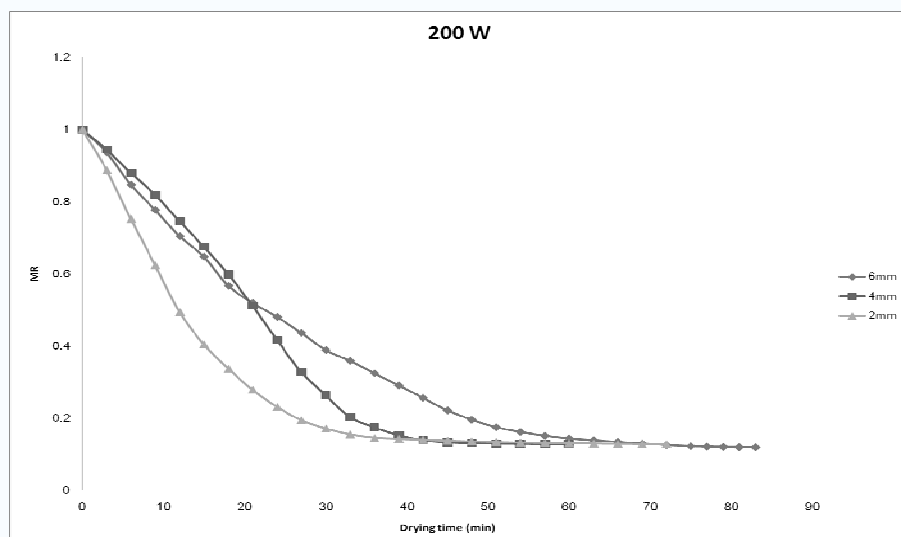
جدول ۱- مدل‌های لایه نازک خشک کردن

	معادله مدل	نام	مراجع
۱	$MR = \exp(-kt)$	Newton	O'Callaghan <i>et al.</i> , 1971
۲	$MR = \exp(-kt^n)$	Page	Page, 1949
۳	$MR = \exp(-(kt)^n)$	Modified Page	Overhults <i>et al.</i> , 1973
۴	$MR = a \exp(-kt)$	Henderson and Pabis	Henderson and Pabis, 1969
۵	$MR = a \exp(-kt) + c$	Logarithmic	Yagcioglu <i>et al.</i> , 1999
۶	$MR = a \exp(-k_0 t) + b \exp(-k_1 t)$	Two-term	Sharaf-Eldeen <i>et al.</i> , 1980
۷	$MR = 1 + at + bt^2$	Wang and Singh	Wang and Singh, 1978
۸	$MR = a \exp(-kt) + (1 - a) \exp(-kbt)$	Approximation of diffusion	Sharaf-Eldeen <i>et al.</i> , 1979
۹	$MR = a \exp(-kt) + (1 - a) \exp(-gt)$	Verma <i>et al.</i>	Verma <i>et al.</i> , 1985
۱۰	$MR = a \exp(-kt) + b \exp(-gt) + c \exp(-ht)$	Modified Henderson and Pabis	Karathanos, 1999

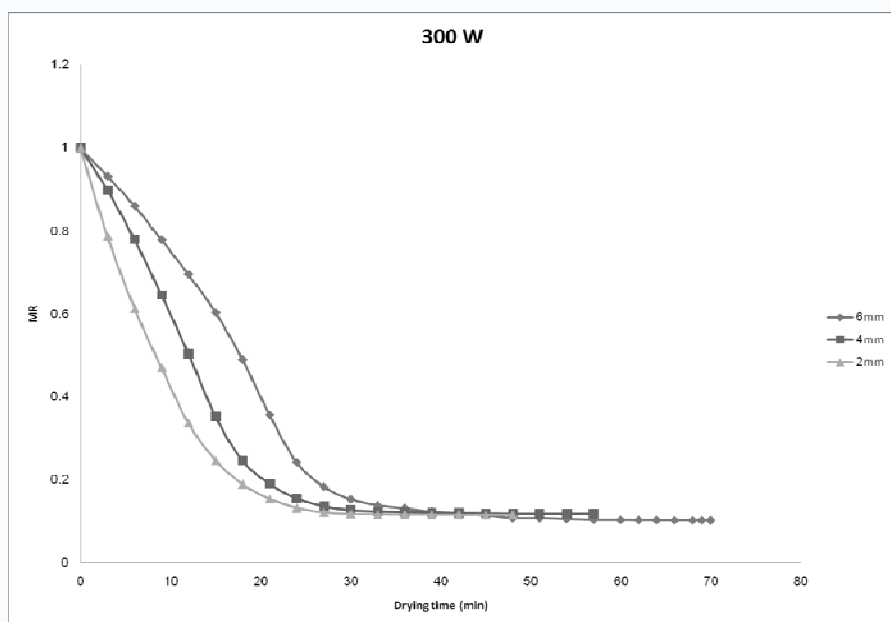
## نتایج و بحث

منحنی نسبت رطوبت در مقابل زمان برای توانهای ۲۰۰، ۳۰۰ و W ۴۰۰ و ضخامت‌های ۲، ۴ و ۶ mm در شکل های ۱ تا ۶ نشان داده شده است. منحنی نمونه‌ها با ضخامت‌های مختلف و برای توانهای مختلف، متفاوتند. علت آن نیز به محتوای رطوبتی برگ‌ها مربوط می‌شود. برگ‌های ضخیم‌تر دیرتر خشک می‌شوند و خشک کردن با توانهای پایین‌تر مدت زمان بیشتری طول می‌کشد.

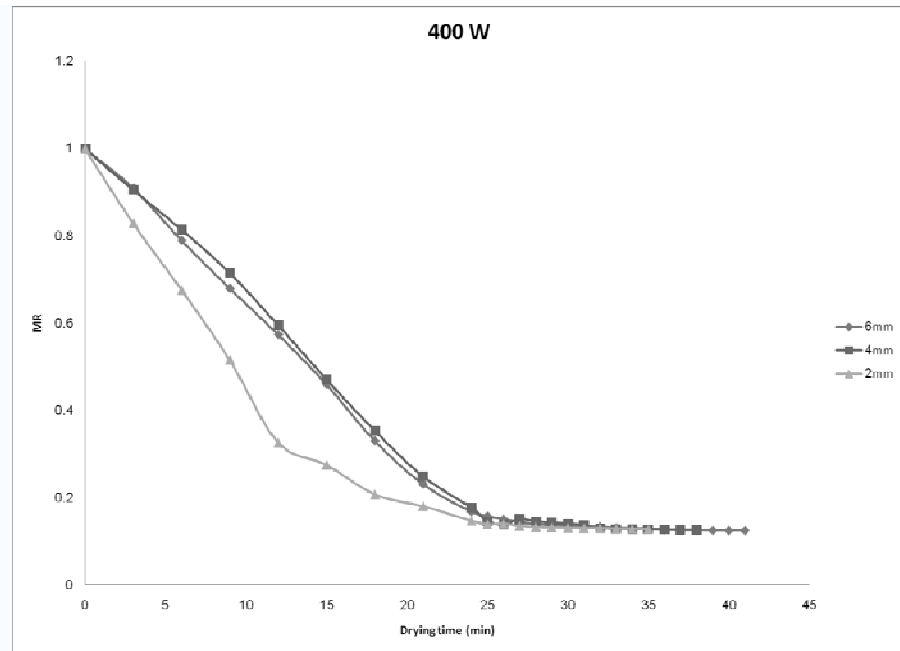
همان‌طور که از شکل‌های ۱ تا ۳ پیداست، برگ‌های با ضخامت ۲ mm سریع‌تر خشک شدند. البته این امر قابل پیش‌بینی بود زیرا، برگ‌های نازک‌تر میزان رطوبت کمتری بوده و در نتیجه با سرعت بیشتری خشک می‌شود.



نمودار ۱- منحنی کاهش رطوبت نسبت به زمان در ضخامت‌های مختلف برای توان W ۲۰۰

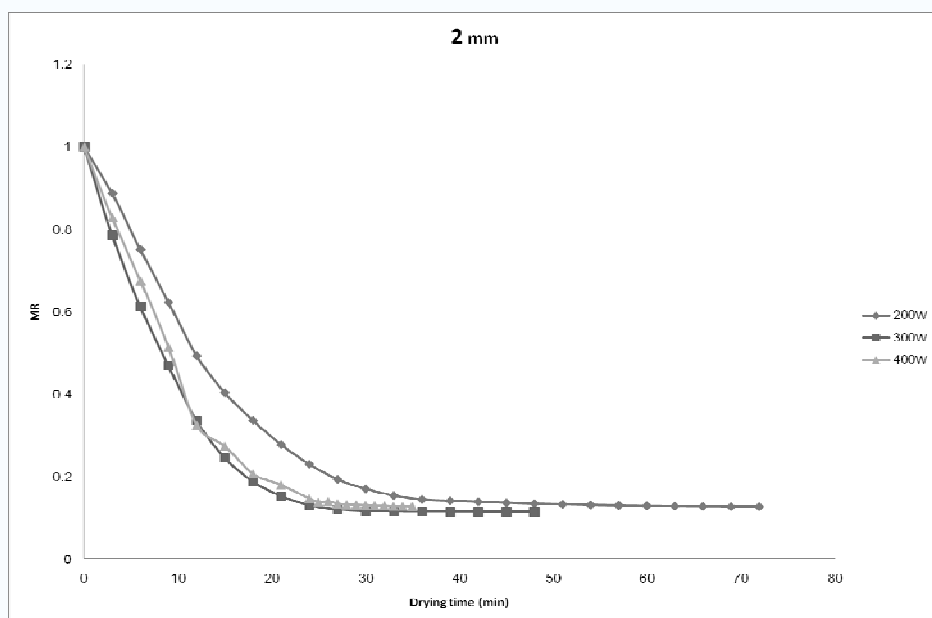


نمودار ۲- منحنی کاهش رطوبت نسبت به زمان در ضخامت‌های مختلف برای توان W ۳۰۰

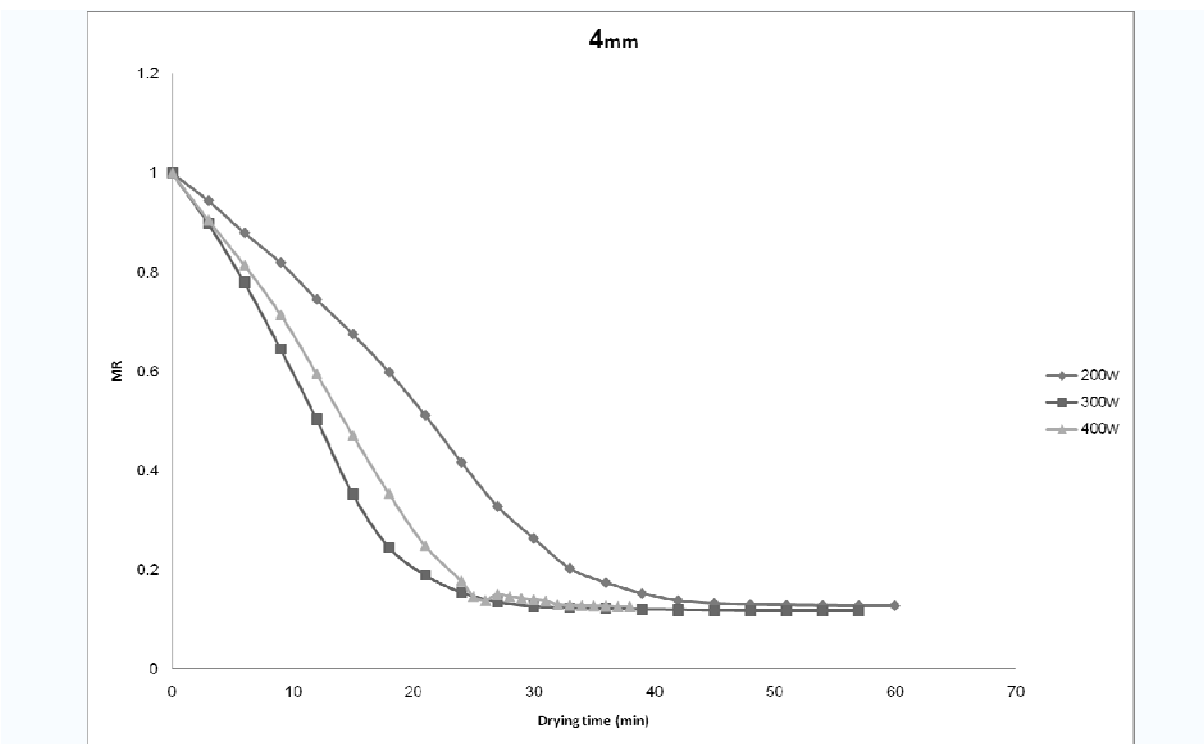


نمودار ۳- منحنی کاهش رطوبت نسبت به زمان در ضخامت‌های مختلف برای توان  $W = 400$

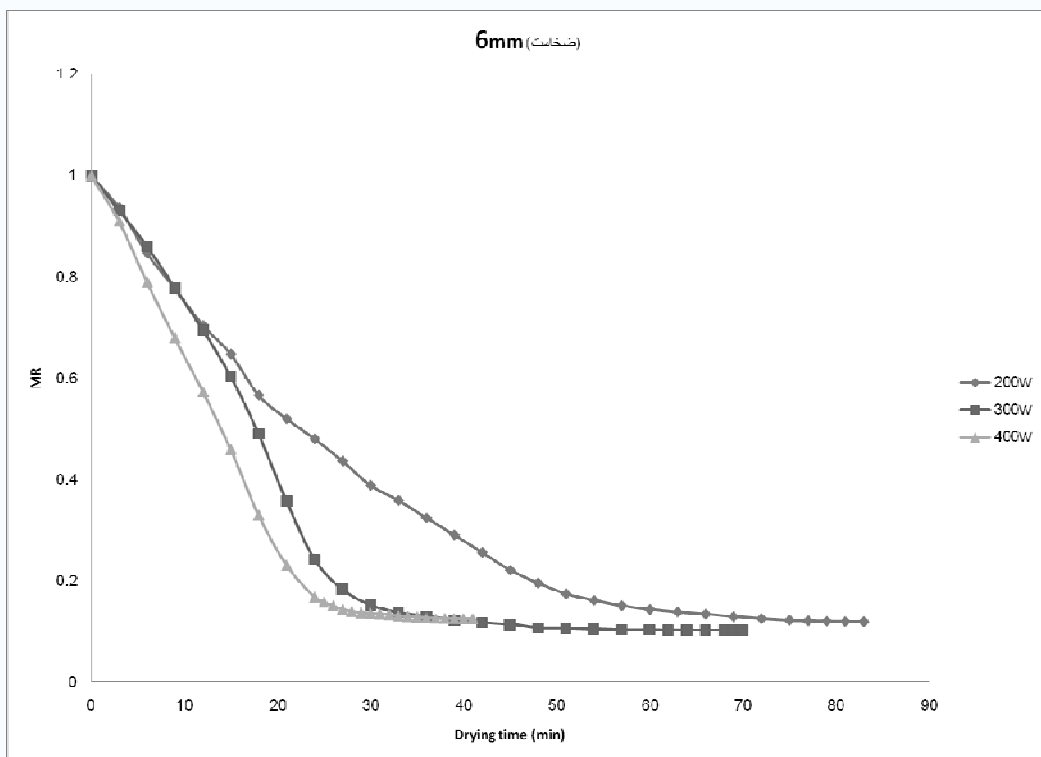
از منحنی‌های نمودارهای (۴) تا (۶) این نتیجه حاصل می‌شود که برای هر سه ضخامت، توان بیشتر یعنی  $400\text{ W}$  زمان کمتری برای خشک کردن لازم دارد. زیرا، در شکل ۴ منحنی قدرت‌های  $300$  و  $400\text{ W}$  برای ضخامت  $2\text{ mm}$  به طور تقریبی نزدیک به هم هستند. زیرا، برگه‌ی نازک‌تر محتوی رطوبت کمتری بوده و در نتیجه با سرعت بیشتری خشک می‌شود. حال اگر توان بیشتر باشد، این اتفاق سریع‌تر رخ می‌دهد.



نمودار ۴- منحنی کاهش رطوبت نسبت به زمان در قدرت‌های مختلف برای ضخامت  $2\text{ mm}$



نمودار ۵- منحنی کاهش رطوبت نسبت به زمان در قدرت‌های مختلف برای ضخامت ۴ mm



نمودار ۶- منحنی کاهش رطوبت نسبت به زمان در قدرت‌های مختلف برای ضخامت ۶ mm

در جدول (۲) نتایج حاصل از تحلیل‌های آماری برای ضخامت‌ها و توان‌های مختلف بر اساس توابع ذکر شده در جدول ۱ آورده شده است. مناسب‌ترین تابع، تابعی است که دارای  $R^2 = 1$ ,  $SSE = 0$  و  $RMSE = 0$  باشد. از

بررسی نتایج به دست آمده برای توان  $W = 200$  و  $W = 300$  تابع لگاریتمی و برای توان  $W = 400$  تابع لگاریتمی و تقریب انتشار با تقریب مناسبی، بهترین مدل سیستیک خشک کردن محسوب می‌شوند. ضرایب مدل لگاریتمی برای توان‌های  $W = 200$  و  $W = 300$  به ترتیب در جدول‌های (۳) و (۴) و ضرایب مدل‌های لگاریتمی و تقریب انتشار برای توان  $W = 400$  در جدول (۵) آورده شده‌اند.

### نتیجه‌گیری

- ۱- بهترین مدل خشک کردن برگ‌های گلابی آسیایی در توان  $W = 200$  و  $W = 300$ ، مدل لگاریتمی و برای توان  $W = 400$ ، مدل لگاریتمی و تقریب انتشار می‌باشد.
- ۲- افزایش توان مایکروویو در مدت زمان خشک کردن آن‌ها تأثیر داشت. این تأثیر بر روی نمودارهای خشک کردن قابل مشاهده می‌باشد.
- ۳- کاهش ضخامت برگ‌ها نیز روی مدت زمان خشک کردن تأثیر مثبت داشتند.

جدول ۲- نتایج مقایسه مدل‌ها در ضخامت و توان مختلف

توان		2mm			4mm			6mm		
حالت	NO	R <sup>2</sup>	SSE	RMSE	R <sup>2</sup>	SSE	RMSE	R <sup>2</sup>	SSE	RMSE
200 W	۱	0.9942	0.01255	0.02081	0.9547	0.09	0.06708	0.9458	0.08704	0.06022
	۲	0.9943	0.01244	0.02108	0.9838	0.03214	0.04113	0.9591	0.06573	0.05346
	۳	0.9943	0.01244	0.02108	0.9838	0.03214	0.04113	0.9591	0.06573	0.05346
	۴	0.9946	0.01173	0.02047	0.9684	0.06293	0.05755	0.9463	0.08624	0.06123
	۵	0.9962	0.00825 9	0.01749	0.9713	0.05703	0.05629	0.9914	0.01377	0.02502
	۶	0.9948	0.01133	0.9942	0.9772	0.04533	0.9732	0.9468	0.08538	0.9392
	۷	0.9879	0.02635	0.987	0.9473	0.1048	0.9414	0.9824	0.02826	0.03584
	۸	0.9948	0.01136	0.02051	0.9868	0.02624	0.03818	0.9868	0.02624	0.03818
	۹	0.9948	0.01135	0.02013	0.9948	0.01135	0.02013	0.9924	0.01219	0.02354
	۱۰	0.8054	0.4221	0.1326	0.7078	0.581	0.1968	0.9264	0.1182	0.07887
300 W	۱	0.9492	0.1186	0.06753	0.9544	0.07432	0.06254	0.9634	0.0434	0.05208
	۲	0.9572	0.09992	0.06322	0.9549	0.07337	0.06384	0.9701	0.03322	0.04706
	۳	0.9572	0.09992	0.06322	0.9549	0.07337	0.063	0.972	0.03322	0.04706
	۴	0.9567	0.1012	0.06362	0.9571	0.06986	0.0623	0.9639	0.04282	0.05343
	۵	0.9613	0.09035	0.06136	0.9716	0.04632	0.0522	0.9929	0.00836 4	0.02444
	۶	0.9627	0.08706	0.06152	0.9607	0.06395	0.06322	0.9649	0.04166	0.05661

	v	0.9382	0.1442	0.07753	0.9568	0.0703	0.06431	0.9899	0.01202	0.0293
	λ	0.9655	0.08059	0.05795	0.9608	0.06383	0.06128	0.9608	0.06383	0.06128
	γ	0.9655	0.08059	0.05795	0.9608	0.06383	0.06128	0.996	0.00479	0.0185
	μ	0.7805	0.5127	0.1562	0.893	0.1743	0.1116	0.9593	0.04832	0.06628
400 W	ν	0.9662	0.06209	0.04984	0.9584	0.07515	0.05845	0.9796	0.02669	0.03748
	ρ	0.9786	0.03923	0.04043	0.9836	0.02956	0.03752	0.9804	0.02561	0.03772
	ς	0.9786	0.03923	0.04043	0.9836	0.02956	0.03752	0.9804	0.02561	0.03772
	ξ	0.9734	0.04884	0.04511	0.9691	0.05585	0.05157	0.9796	0.02664	0.03847
	ο	0.9734	0.0488	0.04606	0.9725	0.04962	0.04981	0.9885	0.01503	0.02973
	η	0.9808	0.0352	0.04	0.9801	0.03602	0.04354	0.9797	0.02657	0.04075
	υ	0.9536	0.08528	0.06089	0.9533	0.08442	0.06497	0.9801	0.02603	0.03913
	λ	0.9828	0.03152	0.03702	0.9865	0.02443	0.03495	0.9796	0.02661	0.03956
	γ	0.9828	0.03152	0.03702	0.9865	0.02443	0.03495	0.9796	0.0266	0.03956
	μ	0.8928	0.1969	0.09922	0.8641	0.2455	0.1202	0.9484	0.06749	0.06943

جدول ۳- ضرایب مدل لگاریتمی برای مدل خشک شدن با توان W ۲۰۰

k	a	c	ضخامت (mm)
0.03528	0.9936	0.04018	۲
0.03515	1.165	-0.08254	۴
0.07731	0.9494	0.1079	۶

جدول ۴- ضرایب مدل لگاریتمی برای مدل خشک شدن با توان W ۳۰۰

k	a	c	ضخامت (mm)
0.05605	1.066	0.04525	۲
0.08143	1.014	0.07289	۴
0.11	0.9409	0.08981	۶

جدول ۵- ضرایب مدل لگاریتمی و تقریب انتشار برای مدل خشک شدن با توان W۰۰

لگاریتمی			تقریب انتشار			ضخامت (mm)
k	a	c	k	a	b	
0.06319	1.084	-0.00506	0.3314	-0.2845	0.2192	۲
0.05308	1.158	-0.08395	0.2255	-0.5619	0.3571	۴
0.09718	0.9714	0.07217	0.9427	-0.01139	0.08071	۶

#### فهرست علائم

$k, k_0, k_1, a, b, g, h, n$	ضرایب ثابت	$M_0$ (%w.b.)	میزان رطوبت اولیه
$t$ (s)	زمان	$M_e$ (%w.b.)	رطوبت تعادلی
$l$ (mm)	ضخامت	MR	نسبت رطوبت <sup>۱</sup>
		RMSE	متodo سط مربعات خطأ

#### فهرست منابع

- امام جمعه، ز و عسگری، غ (۱۳۸۳). بکارگیری روش خشک کردن ترکیبی (پوشش دادن، خشک کن هوا و مايكروویو) در خشک کردن برگ های نازک سیب. مجله علوم کشاورزی ایران. جلد ۳۵. شماره ۳.
- بی نام (۱۳۸۱). آمارنامه کشاورزی. جلد اول محصولات زراعی و باغی - سال زراعی ۱۳۷۹-۱۳۸۰ / ۸۱۰.۱۳۸۰-۰۶
- وزارت جهاد کشاورزی معاونت برنامه ریزی اقتصادی. (۱۳۷۹). خوشخوی، م، شبانی، ب، روحانی، ا و تفضلی، ع (۱۳۷۳). اصول باغبانی. چاپ دوم. انتشارات دانشگاه شیراز. ص ۵۶۶
- رفیعی ش (۱۳۷۶). بررسی روش متداول خشک کردن شلتوك .پایان نامه کارشناسی ارشد مکانیک ماشین های کشاورزی. دانشکده کشاورزی .دانشگاه تهران.
- کاوهی، ز (۱۳۸۷). میوه های خشک شده مغذی ترند یا میوه های تازه؟. سلامت، ۱۹۵: ۱۴

<sup>۱</sup> Moisture Ratio (MR)

6. **Anonymous** (2010). Asian Pear. Available on [http://en.wikipedia.org/wiki/Nashi\\_pear](http://en.wikipedia.org/wiki/Nashi_pear).
7. **Diammante, L. M. and Munro, P. A.** (1991). Mathematical modeling of hot air drying of sweet potato slices. International Journal of Food Science and Technology, **26**: 99.
8. **Feng, H. and Tang, J.** (1998). Microwave finish Drying of Diced Apples in a Spouted Bed., Journal of Food Science V 63 ,No 4 .
9. **Funebo, T., Kidman, S. and Langton, M.** (2000). Microwave heat treatment of apple before air dehydration effects on physical properties and microstructure, Journal of Food Engineering 46: 173-182
10. **Henderson, S. M. and Pabis, S.** (1969). Grain drying theory. I. Temperature effect on drying coefficient. Journal of Agriculture Engineering Research, **6**: 169- 174.
11. **Jia, C., Yang, W. and Wu, B.** (2002). Mathematical modeling and glass transition mapping for rice drying in a cross flow dryer. ASAE Annual International Meeting. Hyatt Regency Chicago. Illinois. USA.
12. **Karathanos, V.T.** (1999). Determination of water content of dried fruits by drying kinetics. Food Engineering. **39**: 337-344.
13. **Karathanos, V.T., Kanellopoulos, N.K. and Belessiotis, V. G..**(1996). Development of Porous Structure during Air Drying of Agricultural Plant Products. Journal of Food Engineering 29: 167-183
14. **Krokida, M.K. and Maroulis, Z.B.** (1997). Effect of drying method on shrinkage and porosity. Drying Technology. 15(10), 2441-2458.
15. **McGlone, V.A., Jordan, R.B., Seelye, R. and Martinsen, P.J.** (2002). Comparing density and NIR methods for measurement of Kiwifruit dry matter and soluble solids content. Journal of the Postharvest Biology and Technology, **26**: 191–198.
16. **O'Callaghan, J.R., Menzies, D.J. and Bailey, P.H.** (1971). Digital simulation of agricultural dryer performance. Agricultural Engineering research. **16**: 223-244.
17. **Overhults, D.D., White, G.M. and Ross, I.J.** (1973). Drying soybeans with heated air. Transactions of the ASAE. **16**: 195-200.
18. **Page, G.** (1949). Factors influencing the maximum rates of air-drying shelled corn in thin layers: M.S. Thesis. Lafayette, IN: Purdue University.
19. **Prabhanjan, D.G., Rammaswamy, H.S. and Raghavan, G.S.V.** (1994). Microwave-assisted Convective Air Drying of Thin Layer Carrots. Journal of Food Engineering, **25**:283-293
20. **Rosenthal, J.A. and Ansrew, J.** (2007). Food Texture, Measurement and Perception. School of Biological and Molecular Science. Oxford Brookes University. United Kingdom.
21. **Sharaf-Eldeen, Y.I., Hamdy, M.Y. and Blaisdell, J.L.** (1979). Mathematical description of drying fully exposed grains. ASAE paper. 79-3034.
22. **Sharaf-Eldeen, Y.I., Blaisdell, J.L. and Hamdy, M.Y.** (1980). A model for ear com drying. Transactions of the ASAE. **5**: 1261-1265.

23. **Sun, Z.H. and Siebenmorgen, T.** (1993). Milling characteristics of various rough rice kernel thickness fractions. *Cereal Chemistry* **70(6)**: 727-733.
24. **Verma, L.R., Bucklin, R.A., Endan, J.B. and Wratten, F.T.** (1985). Effects of drying air parameters on rice drying models. *Transactions of the ASAE*. **28**: 296-301.
25. **Wang, C.Y. and Singh, R.P.** (1978). A single layer drying equation for rough rice. *ASAE Paper*. **3001**.
26. **Yagcioglu, A., Degirmencioglu, A. and Cagatay, F.** (1999). Drying characteristic of laurel leaves under different conditions. In A.Bascetincelik (Ed.), *Proceedings of the 7<sup>th</sup> International Congress on Agricultural Mechanization and Energy*. 26-27 May, Adana, Turkey. Faculty of Agriculture, Cukurova University.
27. **Yaldiz, O and Ertekin, C** (2001). Thin layer solar drying of some different vegetables. *Drying Technology*. **19**: 583-596.

## Abstract

Asian pear is one of the oldest varieties of pear that interesting to grow its breeding varieties has been increased, in the last decades. In this study pear slices were dried in microwave at three different thicknesses and microwave power levels being 2, 4 and 6 mm and 200, 300 and 400W, respectively. The resulted data were used to represent moisture ratio versus time. The mathematical drying models were compared according to  $R^2$ , SSE and RMSE criteria. The result showed that for the microwave drying power of 200 and 300 W, Logarithmic model and for the power of 100 W, Logarithmic and Approximation of diffusion were the best models to simulate drying process.

*Keywords:* Microwave; Asian pear; Drying; Mathematical model